
Simulation und Bildanalyse mit JAVA

Simulation von Punktprozessen

Konstantin Tjo

- 1 – Einführung zur Simulation
- 2 – Poisson-Prozess
- 3 – Matérn-Cluster-Prozess
- 4 – Hard-Core-Prozess



1 Einführung zur Simulation

1.1. Erzeugung von auf $(0,1)$ gleichverteilten Pseudo-ZV'en

Algorithmus (*Multiplikativer Kongruenzgenerator*)

INPUT: $a \in \mathbb{N}, m \in \mathbb{N}$ Primzahl, $u_0 \in \mathbb{N}$ Startwert.

OUTPUT: Realisierung $\{x_1, \dots, x_{m-1}\}$.

SIMUNIFORM (a, m, u_0)

1. $a \leftarrow 1000;$ $m \leftarrow 2001179;$ $u_0 \leftarrow 3000$
2. **for** $n \leftarrow 1$ **to** $m - 1$ **do**
3. $u_{n+1} \leftarrow au_n \text{ mod}(m);$ $x_n = u_n/m$
4. **end for**
5. *liefere* $\{x_1, \dots, x_{m-1}\}$ *zurück.*

- Die Folge X_n ist periodisch mit Periode $m - 1$, falls:
 - m ist eine Primzahl,
 - $p = \frac{m-1}{2}$ ist eine Primzahl,
 - $a^p \equiv -1 \pmod{m}$;
- X_n 's sind identisch verteilt mit Mittelwert $1/2$ und empirischen Varianz $\frac{(m-2)}{12m}$.

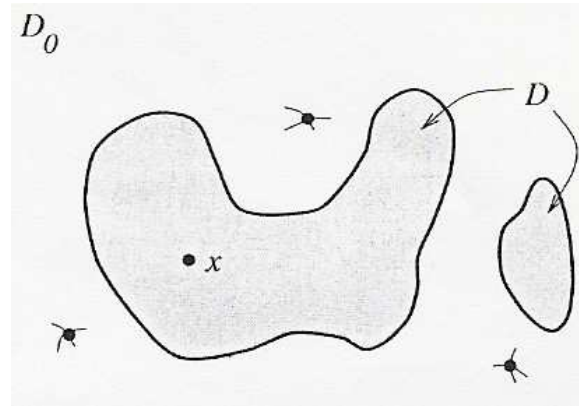
1.2. Erzeugung von "gleichverteilten" Punkten auf einer beschränkten Menge

- Ziel: $x \sim U(D)$
- Sei $D \subset \mathbb{R}^d$ beschränkt, $|D| > 0$,
- und sei $D_0 = \prod_{i=1}^d (a_i, a_i + l_i)$, $a_i, l_i \in \mathbb{R}, i \in \mathbb{N}$

Falls U_1, \dots, U_d unabhängig und gleichverteilt auf $(0, 1)$ sind, so ist $(a_1 + l_1 U_1, \dots, a_d + l_d U_d)$ gleichverteilt auf D_0 .

Algorithmus

1. *Generiere $x \sim U(D_0)$.*
2. **if $x \in D$ then**
 3. *liefere x zurück.*
4. **else** *gehe zu 1.*



Sei $N :=$ Anzahl der Versuche bis zum Erfolg.

Dann gilt:

$$P(N = n) = \frac{|D|}{|D_0|} \left(1 - \frac{|D|}{|D_0|}\right)^{n-1}, \quad n > 0$$

und

$$\mathbb{E}N = \frac{|D_0|}{|D|}.$$

1.3. Inversionsmethode

- Ziel: $X \stackrel{d}{\sim} F$ mit $F_X(x) = P(X < x)$
- Definiere $F^{-1}(u) = \inf\{x \in \mathbb{R} \mid F(x) \geq u\}$, $u \in (0, 1)$

Algorithmus (*Inversionsmethode*)

1. Generiere $U \sim U(0, 1)$.
2. Liefere $F^{-1}(U)$ zurück.

Beweis:

$$\begin{aligned} \text{Es gilt: } & F^{-1}(u) < x \iff u < F(x). \\ \Rightarrow & P(F^{-1}(U) < x) = P(U < F(x)) = F(x) \\ \Rightarrow & F^{-1}(U) \stackrel{d}{\sim} F. \end{aligned}$$

Beispiel (*Exponentialverteilung*)

- Sei $X \sim \text{Exp}(a)$, d. h. $F(x) = 1 - \exp(-ax)$, $a > 0$.
- $F(x) = u \quad \Rightarrow \quad x = \frac{-\ln(1-u)}{a}$.
- Inversionsmethode $\Rightarrow F^{-1}(U) = \frac{-\ln(1-U)}{a}$ bzw. $\frac{-\ln U}{a}$.

1.4. Poisson-Verteilung

- $X \sim Poi(\lambda)$, falls $P(N = n) = \exp(-\lambda) \frac{\lambda^n}{n!}$, $\lambda > 0, n \in \mathbb{N}_0$
- Die Anzahl unabhängiger exponentialverteilter Intervalle mit Parameter 1, die in $[0, \lambda]$ enthalten sind, ist Poisson-verteilt mit Parameter λ .
- Die Länge des i -ten Intervalls kann als $-\ln U_i$ ausgedrückt werden.
- Der erzeugte Wert ist der kleinste Index n , der
– $\sum_{i=1}^{n+1} \ln U_i \geq \lambda$ oder äquivalent $\prod_{i=1}^{n+1} U_i \leq \exp(-\lambda)$ erfüllt.

1.4. Poisson-Verteilung

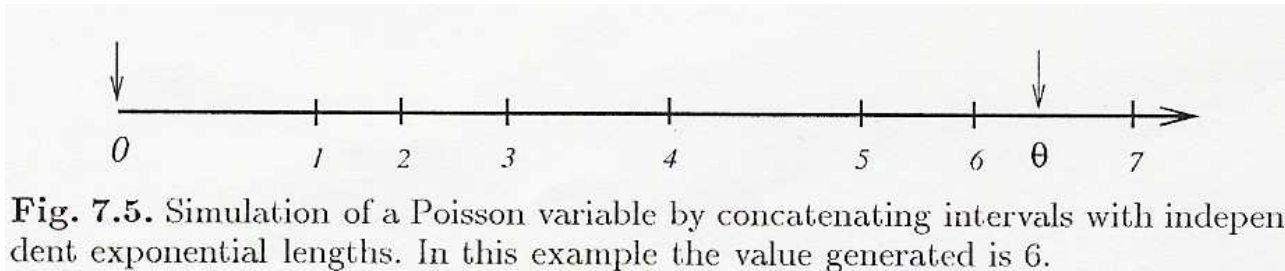


Fig. 7.5. Simulation of a Poisson variable by concatenating intervals with independent exponential lengths. In this example the value generated is 6.

Algorithmus (*Inversionsmethode*)

1. $N \leftarrow 0$; $T \leftarrow 1$
2. Generiere $U \sim U(0, 1)$ **and** $T \leftarrow UT$.
3. **if** $T > e^{-\lambda}$ **then**
 4. $N \leftarrow N + 1$ *und gehe zu 2.*
 5. **else** *liefere* N *zurück.*

2 Poisson-Prozess

2.1. Homogener stationärer Poisson-Prozess

Definition

Ein Punktprozess X heisst ein **homogener (stationärer) Poisson-Prozess** mit Intensität $\lambda > 0$, falls folgende Bedingungen erfüllt sind:

- $X(B)$ ist Poisson-verteilt mit Parameter $\lambda|B|$ für alle beschränkte Borelmengen $B \in \mathcal{B}(\mathbb{R}^2)$,
- $X(B_1), \dots, X(B_n)$ sind unabhängig für jede endliche Folge von paarweise disjunkten Borelmengen $B_1, \dots, B_n \in \mathcal{B}(\mathbb{R}^2)$.

2.2. Simulation von homogenen Poisson-Prozessen

Algorithmus

INPUT: beschränkte Borelmenge $B \in \mathcal{B}(\mathbb{R}^2)$, Intensität $\lambda > 0$.

OUTPUT: Realisierung $\{x_1, x_2, \dots\}$ des Poisson-Prozesses in B .

SIMPOISSONPOINT (B, λ)

1. *Generiere* $n \sim Poi(\lambda|B|)$.
2. **for** $i \leftarrow 1$ **to** n **do**
 3. *Generiere Punkt* $x_i \sim U(B)$.
4. **end for**
5. *liefere* $\{x_1, \dots, x_n\}$ *zurück*.

2.3. Radiale Simulation von homogenen Poisson-Prozessen

Vorteil:

- Beobachtungsfenster hängt nicht von der Realisierung des Prozesses ab
- Punkte sind nach der Entfernung vom Kreismittelpunkt sortiert

Algorithmus

INPUT: Radius $0 < r_{max} < \infty$, Intensität $\lambda > 0$.

OUTPUT: Realisierung $\{x_1, x_2, \dots\}$ des Poisson-Prozesses in $b(0, r_{max})$
mit $\|x_1\| \leq \|x_2\| \leq \dots$

SIMRADPOISSONPOINT (r, λ)

1. $sum \leftarrow 0; \quad r \leftarrow 0; \quad n \leftarrow 1$
2. **while** $r \leq r_{max}$ **do**
 3. Generiere $u \sim U(0, 1)$.
 4. $sum \leftarrow sum + \ln(u); \quad r \leftarrow \sqrt{sum / (-\lambda\pi)}$
 5. **if** $r \leq r_{max}$ **then**
 6. Generiere $\theta \sim U[0, 2\pi)$.
 7. $x_n \leftarrow (r \cdot \cos\theta, r \cdot \sin\theta); \quad n \leftarrow n + 1$
 8. **end if**
9. **end while**
10. liefere $\{x_1, \dots, x_{n-1}\}$ zurück.

3 Matérn-Cluster-Prozess

- Sei $X = \{X_1, X_2, \dots\}$ ein homogener stationärer Poisson-Prozess mit Intensität $\lambda > 0$.
- Weiterhin sei $\{X^{(1)}, X^{(2)}, \dots\}$ eine Folge von unabhängigen und identisch verteilten Punktprozessen $X^{(n)}$ mit endlicher erwarteter Anzahl der Punkte, d. h. $\mathbb{E}[X^{(1)}(\mathbb{R}^2)] < \infty$.
- Dann heisst der Punktprozess $Y = \{Y(B) : B \in \mathcal{B}(\mathbb{R}^2)\}$ mit
$$Y(B) = \sum_{n \geq 1} X^{(n)}(B - X_n) \quad \text{für alle } B \in \mathcal{B}(\mathbb{R}^2)$$

Poisson-Cluster-Prozess.

- $r_0 = \inf\{r > 0 : P(X^{(1)}(b(0, r)) = X^{(1)}(\mathbb{R}^2)) = 1\}$ heisst **Clusterradius** von Y .

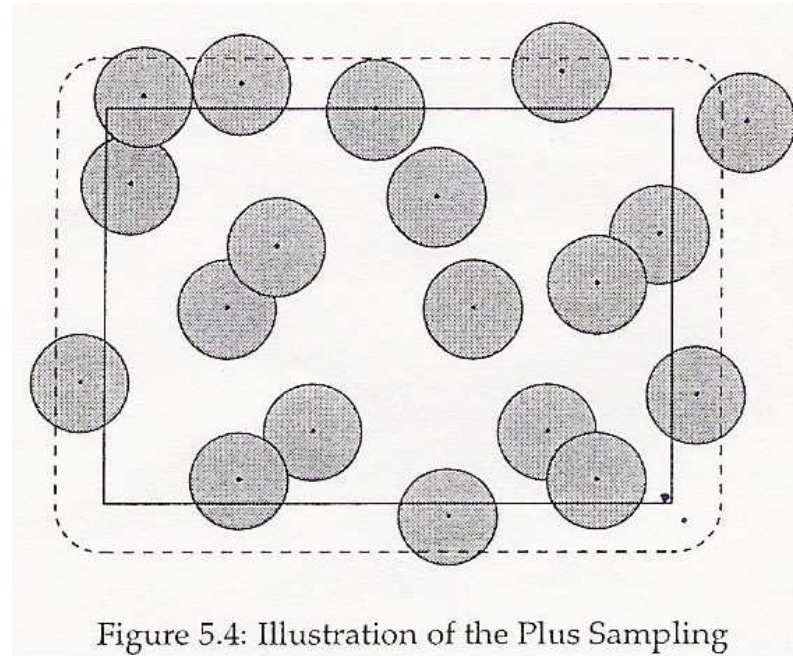


Figure 5.4: Illustration of the Plus Sampling

$$\tilde{B} = \delta_{b(0, r_0)}(B) = \bigcup_{x \in B} (b(0, r_0) + x)$$

3.2. Simulation von Matérn-Cluster-Prozessen

Algorithmus

INPUT: beschränkte Borelmenge $B \in \mathcal{B}(\mathbb{R}^2)$, Intensitäten $\lambda_0, \lambda_1 > 0$
und $r_0 > 0$.

OUTPUT: Realisierung $\{z_1, z_2, \dots\}$ des Matérn-Cluster-Prozesses in B .

SIMMATÉRNCLUSTER $(B, \lambda_0, \lambda_1, r_0)$

1. $\tilde{B} \leftarrow \delta_{b(0,r_0)}(B)$
2. $\{x_1, \dots, x_n\} \leftarrow \text{SIMPOISSONPOINT}(\tilde{B}, \lambda_0)$
3. $k \leftarrow 1$
4. **for** $i \leftarrow 1$ **to** n **do**
 5. $\{y_{i,1}, \dots, y_{i,m_i}\} \leftarrow \text{SIMRADPOISSONPOINT}(r_0, \lambda_1)$
 6. **for** $j \leftarrow 1$ **to** m_i **do**
 7. **if** $x_i + y_{i,j} \in B$ **then**
 8. $z_k \leftarrow x_i + y_{i,j}; \quad k \leftarrow k + 1$
 9. **end if**
 10. **end for**
11. **end for**
12. *liefere* $\{z_1, \dots, z_{k-1}\}$ *zurück.*

4 Hard-Core-Prozess

Definition

- Sei $X = \{X_1, X_2, \dots\}$ ein homogener stationärer Poisson-Prozess,
- und sei $0 < r_0 < \infty$ der Hard-Core-Radius.
- Sei $M = \{M_1, M_2, \dots\}$ eine Folge von unabhängigen und auf $(0, 1)$ gleichverteilten Zufallsvariablen. Weiterhin seien X und M unabhängig voneinander.
- Der Punktprozess $Y = \{Y_1, Y_2, \dots\}$ mit

$$Y = \{X_n : n \geq 1; M_n < M_m \text{ für alle } X_m \in b(X_n, r_0), m \neq n\}$$

heisst dann **Matérn-Hard-Core-Prozess**.

4.2. Simulation von Matérn-Hard-Core-Prozessen

Algorithmus

INPUT: beschränkte Borelmenge $B \in \mathcal{B}(\mathbb{R}^2)$, Intensität $\lambda > 0$ und $r_0 > 0$.

OUTPUT: Realisierung $\{y_1, y_2, \dots\}$ des Matérn-Hard-Core-Prozesses im Beobachtungsfenster B .

SIMMATÉRNHARDCORE (B, λ, r_0)

1. $\tilde{B} \leftarrow \delta_{b(0, r_0)}(B)$
2. $\{x_1, \dots, x_n\} \leftarrow \text{SIMPOISSONPOINT}(\tilde{B}, \lambda_0)$
3. **for** $i \leftarrow 1$ **to** n **do**
 4. *Generiere* $m_i \sim U(0, 1)$
5. **end for**
6. $k \leftarrow 1$
7. **for** $i \leftarrow 1$ **to** n
 8. **if** $x_i \in B$ **and**
 $\forall j \in \{1, \dots, n\} : j = i \vee \|x_j - x_i\| > r_0 \vee m_j > m_i$ **then**
 9. $y_k \leftarrow x_i; k \leftarrow k + 1$
 10. **end if**
11. **end for**
12. *liefere* $\{y_1, \dots, y_{k-1}\}$ *zurück.*

Literatur:

- C. Lantuéjoul** *Geostatistical Simulation Models and Algorithms*. Springer, **2002**.
- J. Mayer** *On Quality Improvement of Scientific Software: Theory, Methods and Application in the GeoStoch Development*. Ph. D. Thesis, University of Ulm, **2003**.
- J. Møller** *Statistical Inference and Simulation for Spatial Point Processes*. Chapman and Hall/CRC, Boca Raton, **2003**.
- D. Stoyan, H. Stoyan** *Fractals, Random Shapes and Point Fields*. J. Wiley & Sons, **1994**.
- D. Stoyan, W. S. Kendall, J. Mecke** *Stochastic Geometry and its Applications*. J. Wiley & Sons, **1995**.